

05.2

Гофрировочная неустойчивость свободного движения 180-градусной доменной границы (ДГ) в одноосном ферромагнетике

© Г.Е. Ходенков

Институт электронных управляющих машин, Москва
E-mail: angeline@mtu-net.ru

Поступило в Редакцию 7 мая 2003 г.

Исследование спектра колебаний свободно движущейся в одноосном ферромагнетике 180°-ной ДГ показывает, что ее одномерная структура становится неустойчивой относительно поверхностных искажений в области отрицательности эффективной массы (дифференциальной подвижности). Определены верхнее критическое значение волнового вектора возмущения, выше которого гофрировка ДГ не развивается, и значение волнового вектора моды возмущения с максимальным инкрементом.

Развитие информационных технологий обуславливает интерес к исследованию динамики солитонов в магнитных средах. Простейшим одномерным объектом такого рода в одноосных ферромагнетиках является кинк-180°-ная доменная граница (ДГ), динамика которой в целом хорошо изучена (см. для ДГ во внешнем магнитном поле решение Уокера (1956) [1] и для свободного движения [2,3]). Устойчивость нелинейных решений уравнений Ландау–Лифшица относительно развития гофрировочной неустойчивости, т. е. поперечных изгибов поверхности ДГ, изучена менее полно, хотя экспериментально гофрированные ДГ и наблюдаются довольно часто. Если ограничиться для примера только так называемыми пленками с перпендикулярной магнитной одноосной анизотропией, то можно указать (см. в [4]) на статические искажения кругового сечения цилиндрических магнитных доменов, изгибные искажения плоской ДГ по Шлеману, динамический гиротропный прогиб поверхности ДГ под действием движущейся блоховской линии и др. Необходимо отметить, что, судя по этим и другим (для плоской ДГ

см., например, также [5,6]) экспериментальным данным, единого механизма гофрировки ДГ не существует.

В настоящем сообщении рассматривается простейшая задача — возникновение гофрировки поверхности свободно движущейся одномерной 180° -ной ДГ в одноосном ферромагнетике, т. е. неустойчивости решения Уокера в форме [2,3]. Сомнения относительно устойчивости вызывает участок с отрицательной дифференциальной подвижностью ДГ в случае [1] или с отрицательной массой [2,3]. Согласно качественным аргументам [7], одномерное движение ДГ на этих участках неустойчиво относительно гофрировки. Специально исследованию этого вопроса на спектральном уровне посвящены работы [8,9], причем в последней из них показано, что ДГ действительно испытывает в области отрицательной подвижности гофрировочную неустойчивость. К сожалению, предложенный в [9] спектр ограничен лишь линейным учетом пространственной дисперсии по двумерному волновому вектору \mathbf{k}_{\parallel} возмущения, локализованного на поверхности ДГ. В настоящей работе спектр локализованных колебаний в отличие от [9] выводится из спектральных уравнений устойчивости не при столь сильных ограничениях на \mathbf{k}_{\parallel} . Это позволяет определить то значение волнового числа $k_{\parallel M}$, которое отвечает моде с максимальным инкрементом в области неустойчивости и определяет таким образом период возникающей гофрировки. Кроме того, показано, что существует еще одно критическое значение $k_{\parallel} = k_{\parallel b}$ ($> k_{\parallel M}$), выше которого ДГ остается устойчивой относительно гофрировки.

Рассмотрим 180° -ную ДГ в плоскости xOz , движущуюся свободно в одноосном ферромагнетике в положительном направлении вдоль оси Oy (ось легкого намагничивания коллинеарна Oz). Соответствующее одномерное решение хорошо известно [2,3] и имеет вид

$$\sin \theta_0(y) = 1 / \operatorname{ch}[(y - Vt) / \Delta(\varphi_0)], \quad \Delta(\varphi_0) = (1 + \sin^2 \varphi_0 / Q)^{-1/2},$$

$$\sin^2 \varphi_M = Q((1 + 1/Q)^{1/2} - 1), \quad V = \Delta(\varphi_0) \sin \varphi_0 \cos \varphi_0 / Q. \quad (1)$$

Здесь $\theta_0(y)$ и $\varphi_0 = \text{const}$ — полярный и азимутальный углы вектора намагниченности \mathbf{M} , отсчитываемые соответственно от осей Oz и Ox , лежащих в плоскости ДГ. Координата y измеряется в единицах ширины блоховской ДГ $\Delta = (A/K)^{1/2}$ (A — обменная жесткость, K — константа одноосной анизотропии); время t — в единицах $(\gamma H_a)^{-1}$

($H_a = 2K/M$ — поле одноосной анизотропии); $Q = H_a/4\pi M$ — так называемый фактор качества материала. Зависимости скорости ДГ $V(\varphi_0)$ (в единицах $V_w = 2\pi\gamma M\Delta$) для трех типичных значений Q представлены на рисунке, причем устойчивые участки (см. ниже) выделены жирными линиями; $\varphi_M(Q)$ в (1) — абсцисса максимума скорости. Величина φ_0 имеет смысл импульса ДГ, гамильтониан которой $H = \Delta(\varphi_0)^{-1}$ периодичен по импульсу [10] (для последующего достаточно ограничиться ветвью $0 < \varphi_0 < \pi/2$). На ниспадающих участках $V(\varphi_0)$, см. рисунок, эффективная масса ДГ m отрицательна ($V = \partial H/\partial \varphi_0$ и $1/m = \partial V/\partial \varphi_0 < 0$).

Уравнения малых колебаний могут быть получены переходом в локальную систему координат, которая движется со скоростью V вместе с ДГ вдоль оси $0y$ и оси которой в базисной плоскости $x0y$ повернуты на угол φ_0 (новая ось $0x$ совпадает теперь с плоскостью, в которой происходит разворот спинов на 180°). Для малых амплитуд намагниченности $\sim \exp(-i\omega t + ik_{\parallel}\rho)$ ($\rho = (x, z)$ — координаты в плоскости ДГ), лежащих в плоскости разворота спинов m_{\parallel} и перпендикулярной ей m_{\perp} , имеем уравнения

$$\begin{aligned} i\tilde{\omega}m_{\perp} + \tilde{V}\tilde{L}^+m_{\perp} + (\tilde{L} + \tilde{k}_{\parallel}^2)m_{\parallel} &= 0, \\ -i\tilde{\omega}m_{\parallel} + \tilde{V}\tilde{L}^-m_{\parallel} + (\tilde{L} + \tilde{k}_{\parallel}^2 + \tilde{\omega}_{ms})m_{\perp} &= 0, \end{aligned} \quad (2)$$

совпадающие с точностью до переобозначений с результатами [9,11]. Здесь операторы $\tilde{L} = \tilde{L}^+\tilde{L}^- = -d^2/dy^2 + 1 - 2/\text{ch}^2 y$, $\tilde{L}^{\pm} = \pm d/dy - \text{th}y$, причем под локальной координатой y теперь понимается величина $(y - Vt)\Delta(\varphi_0)$; $\tilde{\omega} = \omega\Delta(\varphi_0)^2$, $\tilde{k}_{\parallel} = k_{\parallel}\Delta(\varphi_0)$, $\tilde{V} = V\Delta(\varphi_0)$, $\tilde{\omega}_{ms} = Q^{-1}\Delta(\varphi_0)\cos 2\varphi_0$ (см. формулы в (1)).

Основную трудность при решении (2) представляет учет членов $\sim \tilde{V}$, тогда как статический случай $\tilde{V} = 0$ (2) хорошо известен — Винтер, 1961. Естественно воспользоваться теорией возмущений по \tilde{V} , разлагая (2) по ортонормированному полному набору оператора \tilde{L} . Его спектр состоит из двух частей: 1) локализованной на ДГ трансляционной моды — $\chi_{tr}(y) = 1/(\sqrt{2}\text{ch} y)$, $\tilde{L}\chi_{tr}(y) = \tilde{L}^-\chi_{tr}(y) = 0$; 2) прецессионной моды, локализованной преимущественно в доменах, — $\chi_{pr}(y, k) = \tilde{L}^+\exp(iky)/\sqrt{2\pi(1+k^2)}$, $\tilde{L}\chi_{pr}(y, k) = (1+k^2)\chi_{pr}(y, k)$. Соответствующим

шие резонансные частоты, согласно (2), равны: 1) $\Omega_{tr}^{(0)}(\tilde{k}_{\parallel})^2 = \tilde{k}_{\parallel}^2(\tilde{k}_{\parallel}^2 + \tilde{\omega}_{ms})$ — трансляционный уровень и 2) $\Omega_{pr}^{(0)}(\tilde{k}_{\parallel}, k)^2 = (1 + k^2 + \tilde{k}_{\parallel}^2)(1 + \tilde{k}_{\parallel}^2 + k^2 + \tilde{\omega}_{ms}) > \Omega_{tr}^{(0)}(\tilde{k}_{\parallel})^2$ — прецессионный уровень.

Гофрировочная неустойчивость обуславливается трансляционным уровнем, поправки к частоте которого $\Omega_{tr}^{(0)}(\tilde{k}_{\parallel})$ и необходимо вычислить. Используемая здесь схема теории возмущений аналогична приводящейся в [11], где вычисления, однако, ограничиваются первым порядком по \tilde{V} . Поскольку, как это показано в [11], и подтверждается проведенными здесь расчетами, поправка первого приближения $\Omega_{tr}^{(1)}(\tilde{k}_{\parallel}) = 0$, вычисления необходимо проводить до второго порядка. Вклад диагонального члена $\tilde{\omega}_{ms}(\varphi_0)$, зависящий от скорости ДГ, учитывается с точностью до соответствующего порядка теории возмущений. Результаты вычислений таковы:

$$m_{\parallel tr}(y) = \frac{-i\Omega_{tr}^{(0)}(\tilde{k}_{\parallel})}{\tilde{k}_{\parallel}^2} m_{\perp tr}(y) = \chi_{tr}(y) - i\tilde{V} \frac{\tilde{k}_{\parallel}^2}{\Omega_{tr}^{(0)}(\tilde{k}_{\parallel})} \times \int_{-\infty}^{\infty} dk \frac{(1 + k^2 + \tilde{k}_{\parallel}^2) \langle \chi_{pr}(y_1, k) | \hat{L}^+ | \chi_{tr}(y_1) \rangle}{\Omega_{pr}^{(0)}(\tilde{k}_{\parallel}, k)^2 - \Omega_{tr}^{(0)}(\tilde{k}_{\parallel})^2} \chi_{pr}(y, k); \quad (3.1)$$

$$\Omega_{tr}(\tilde{k}_{\parallel})^2 = \tilde{k}_{\parallel}^2(\tilde{\omega}_{ms} + \tilde{k}_{\parallel}^2 - \tilde{V}^2 I(\tilde{k}_{\parallel})), \quad (3.2)$$

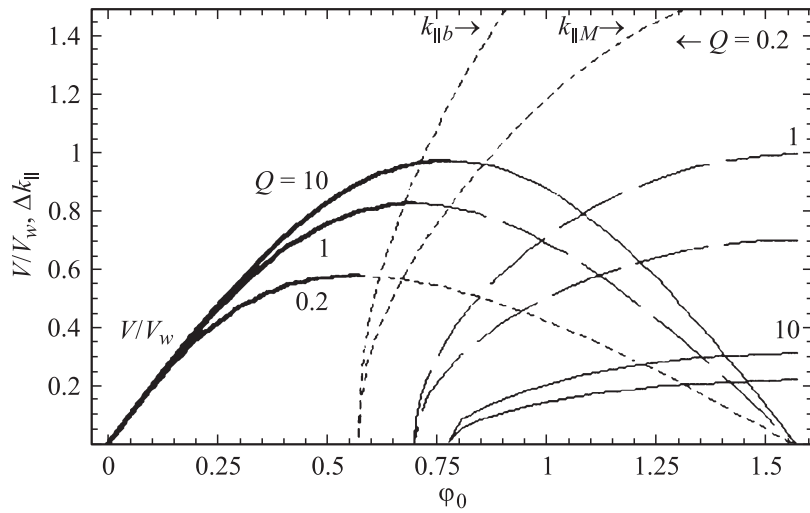
$$I(\tilde{k}_{\parallel}) = \int_{-\infty}^{\infty} dk \frac{(1 + k^2 + \tilde{k}_{\parallel}^2 + \tilde{\omega}_{ms}) |\langle \chi_{pr}(y_1, k) | \hat{L}^+ | \chi_{tr}(y_1) \rangle|^2}{\Omega_{pr}^{(0)}(\tilde{k}_{\parallel}, k)^2 - \Omega_{tr}^{(0)}(\tilde{k}_{\parallel})^2} > 0, \quad (3.3)$$

где $\langle \dots \rangle$ — операция взятия матричного элемента (интеграла по y_1 в бесконечных пределах), причем $|\langle \chi_{pr}(y_1, k) | \hat{L}^+ | \chi_{tr}(y_1) \rangle|^2 = (\pi/4) \times (1 + k^2) / \text{ch}^2(\pi k/2)$.

В низшем порядке по \tilde{k}_{\parallel} из (3.2) и (3.3) с учетом того, что $I(0) = 1$, не зависит от $\tilde{\omega}_{ms}(\varphi_0)$, приходим к выражению

$$\omega_{tr}(\tilde{k}_{\parallel} \rightarrow 0)^2 = \tilde{k}_{\parallel}^2(\tilde{\omega}_{ms} - \tilde{V}^2) = \tilde{k}_{\parallel}^2 \Delta(\varphi_0) \partial V(\varphi_0) / \partial \varphi_0, \quad (4)$$

которое совпадает вблизи максимума скорости, где $\varphi_0 = \varphi_M$, с результатами [9] и которое показывает, что в области $\partial V(\varphi_0) / \partial \varphi_0 < 0$



(отрицательности эффективной массы) ДГ становится неустойчивой относительно поверхностных возмущений с $\tilde{k}_{||} \neq 0$. В отличие от [9], однако, полученные здесь полные выражения (3.2), (3.3) позволяют определить некоторые дополнительные характеристики гофрировочной неустойчивости.

Разложение интеграла $I(\tilde{k}_{||})$ в ряд по $\tilde{k}_{||}$ показывает, что члены порядка $\tilde{k}_{||}^4$ в (3.2) всегда положительны. С учетом (4) это указывает на существование некоторого значения $k_{||} = k_{||M}$, при котором инкремент гофрировочной неустойчивости максимален и которое определяет вероятное значение установившегося периода гофрировки. С другой стороны, поскольку $\Omega_{ir}(\tilde{k}_{||} = 0)^2 = 0$ и $\Omega_{ir}(\tilde{k}_{||} \rightarrow \infty)^2 \sim \tilde{k}_{||}^4$ (так как $I(\tilde{k}_{||} \rightarrow \infty) \rightarrow \text{const}$), можно заключить, что помимо $k_{||} = 0$ существует еще одно критическое значение $k_{||} = k_{||b}$, при котором $\Omega_{ir}(\tilde{k}_{||b})^2$ обращается в нуль и выше которого величина $\Omega_{ir}(\tilde{k}_{||})^2$ заведомо положительна (гофрировка исчезает). На рисунке для трех указанных значений $Q = 0.2, 1, 10$ представлены полученные численно три пары кривых $k_{||M}(\Phi_0)$ и $k_{||b}(\Phi_0)$, которые исходят из точек $\Phi_M(Q)$, лежащих на оси абсцисс (для данного Q величина $k_{||b}(\Phi_0)$ лежит выше $k_{||M}(\Phi_0)$).

В заключение остановимся на условиях применимости теории возмущений. Как известно, для ее применимости необходимо, чтобы поправка первого приближения в (3.1) была мала. В случае $Q \gg 1$, как можно показать, эта поправка всегда мала $\sim 1/Q$. Случай $Q \ll 1$ более проблематичен: здесь, за исключением отдельных областей, малость поправки определяется малостью k_{\parallel} .

Список литературы

- [1] Schryer N.L., Walker L.R. // J. Appl. Phys. 1974. V. 45. N 12. P. 5406–5421.
- [2] Schloemann E. // Appl. Phys. Lett. 1971. V. 19. N 8. P. 274–276.
- [3] Schloemann E. // J. Appl. Phys. 1972. V. 43. N 9. P. 3834–3842.
- [4] Малоземов А., Слонзуски Дж. Доменные стенки в материалах с ЦМД. М.: Мир, 1982. 382 с.
- [5] Рандошкин В.В., Логунов М.В. // ФТТ. 1994. Т. 36. В. 12. С. 3498–3505; Рандошкин В.В. // ФТТ. 1995. Т. 35. В. 10. С. 3056–3073.
- [6] Боков А.А., Волков В.В., Петриченко Н.А. // ФТТ. 2002. Т. 44. В. 11. С. 2018–2021.
- [7] Slonczewski J.C. // Intern. J. Magn. 1972. V. 2. N 2. P. 85–97.
- [8] Magyari E., Thomas H. // Z. Phys. B–Condensed Matter. 1984. V. 57. N 2. P. 141–149.
- [9] Magyari E., Thomas H. // Z. Phys. B–Condensed Matter. 1985. V. 59. N 2. P. 167–176.
- [10] Косевич А.А., Иванов Б.А., Ковалев А.С. // Нелинейные волны намагниченности. Динамические и топологические солитоны. Киев: Наукова думка, 1988. 190 с.
- [11] Thiele A.A. // Phys. Rev. 1973. V. B7. N 1. P. 391–397.